

функцию  $\mathcal{P}(t)$  по дисперсионной формуле вида (111,8), то интеграл окажется расходящимся и понадобится производить дополнительные операции вычитания с целью удовлетворить условиям  $\mathcal{P}(0) = 0$  и  $\mathcal{P}'(0) = 0$ . Это вычитание можно, однако, произвести без явного оперирования с расходящимся интегралом. Для этого достаточно применить дисперсионное соотношение (111,8) не к самой функции  $\mathcal{P}(t)$ , а к функции  $\mathcal{P}(t)/t^2$ . Тогда  $\mathcal{P}(t)$  представится в виде

$$\mathcal{P}(t) = \frac{t^2}{\pi} \int_0^\infty \frac{\operatorname{Im} \mathcal{P}(t')}{t'^2(t' - t - i0)} dt'. \quad (111,13)$$

Этот интеграл уже сходится, а получаемая таким образом функция  $\mathcal{P}(t)$  автоматически удовлетворяет требуемым условиям.

О соотношении вида (111,13) говорят как о дисперсионном соотношении «с двумя вычитаниями». Смысл использованного в нем перехода к функции  $\mathcal{P}(t)/t^2$  становится особенно наглядным, если записать (111,13) в виде

$$\mathcal{P}(t) = \frac{1}{\pi} \int_0^\infty \frac{\operatorname{Im} \mathcal{P}(t') dt'}{t' - t - i0} - \frac{1}{\pi} \int_0^\infty \frac{\operatorname{Im} \mathcal{P}(t')}{t'} dt' - \frac{t}{\pi} \int_0^\infty \frac{\operatorname{Im} \mathcal{P}(t')}{t'^2} dt'.$$

Если обозначить первый («нерегуляризованный») интеграл как  $\tilde{\mathcal{P}}(t)$ , то все выражение в правой стороне будет равно

$$\tilde{\mathcal{P}}(t) - \tilde{\mathcal{P}}(0) - t\tilde{\mathcal{P}}'(0).$$

## § 112. Регуляризация интегралов Фейнмана

Рассмотренные в § 110 физические условия перенормировки позволяют, в принципе, получить однозначным образом конечное значение амплитуды всякого электродинамического процесса при ее вычислении в любом приближении теории возмущений.

Ознакомимся прежде всего с характером расходимостей, возникающих в интегралах, написанных непосредственно по диаграммам Фейнмана. Важные указания на этот предмет дает подсчет степеней виртуальных 4-импульсов, входящих в подынтегральные выражения для этих интегралов.

Рассмотрим диаграмму  $n$ -го порядка (т. е. содержащую  $n$  вершин), имеющую  $N_e$  электронных и  $N_\gamma$  фотонных внешних линий. Число  $N_e$  четно, и электронные линии образуют  $N_e/2$  непрерывных последовательностей, каждая из которых начинается и заканчивается внешним концом. Число же внутренних электронных линий в каждой такой последовательности на единицу меньше числа вершин на ней; поэтому полное число внутренних

электронных линий в диаграмме равно

$$n - N_e/2.$$

В каждую вершину входит одна фотонная линия; в  $N_\gamma$  вершинах фотонная линия — внешняя, а в остальных  $n - N_\gamma$  — внутренняя. Поскольку каждая внутренняя фотонная линия связывает две вершины, полное число таких линий равно

$$(n - N_\gamma)/2.$$

Каждой фотонной внутренней линии сопоставляется множитель  $D(k)$ , содержащий  $k$  в степени — 2. Каждой же электронной внутренней линии сопоставляется множитель  $G(p)$ , содержащий  $p$  (при  $p^2 \gg m^2$ ) в степени — 1. Таким образом, суммарная степень 4-импульсов в знаменателе диаграммы равна

$$2n - N_e/2 - N_\gamma.$$

Число же интегрирований (по  $d^4p$  или  $d^4k$ ) в диаграмме равно числу внутренних линий, за вычетом числа  $n - 1$  налагаемых на виртуальные импульсы дополнительных условий (из  $n$  законов сохранения в вершинах один связывает импульсы внешних концов диаграммы). Учтеверив, получим число интегрирований по всем компонентам 4-импульсов:

$$2(n - N_e - N_\gamma + 2).$$

Наконец, разность между числом интегрирований и степенью импульсов в знаменателе интегрируемого выражения (обозначим ее  $r$ ) равна

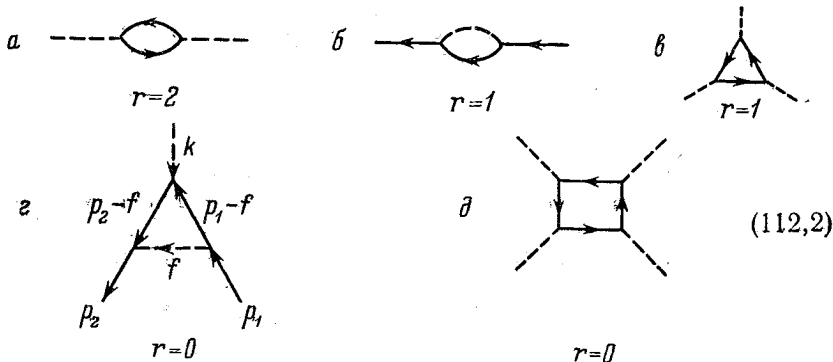
$$r = 4 - \frac{3}{2}N_e - N_\gamma. \quad (112,1)$$

Отметим, что это число не зависит от порядка диаграммы  $n$ .

Условия  $r < 0$  для диаграммы в целом, вообще говоря, недостаточно для сходимости интеграла; необходимо, чтобы были отрицательны аналогичные числа  $r'$  и для внутренних блоков, которые можно было бы выделить из диаграммы. Наличие блоков с  $r' > 0$  привело бы к их расходимости, хотя остальные интегрирования в диаграмме и сходились бы при этом даже «с избытком». Условия  $r < 0$ , однако, достаточно для сходимости простейших диаграмм, в которых  $n = N_e + N_\gamma$  и имеется всего одно интегрирование по  $d^4p$ .

Если же  $r \geqslant 0$ , то интеграл во всяком случае расходится. При этом степень расходимости — не менее чем  $r$ , если число  $r$  четно, и не менее чем  $r - 1$ , если  $r$  нечетно (уменьшение степени расходимости на 1 в последнем случае связано с обращением в нуль интеграла от произведений нечетного числа 4-векторов при интегрировании по всему 4-пространству). Степень расходимости может увеличиться при наличии внутренних блоков с  $r' > 0$ .

Отметим, что так как  $N_e$  и  $N_y$  — целые положительные числа, из (112,1) видно, что существует лишь несколько пар значений этих чисел, при которых  $r \geq 0$ . Перечислим простейшие диаграммы каждого из таких типов, но сразу же исключим из них случаи  $N_e = N_y = 0$  (вакуумные петли) и  $N_e = 0, N_y = 1$  (среднее значение вакуумного тока), поскольку они не имеют физического смысла и соответствующие диаграммы должны просто отбрасываться, как уже было указано в § 103. Остальные случаи таковы:



В первом из этих случаев расходимость квадратичная, а во всех остальных ( $r = 0$  или  $r = 1$ ) — логарифмическая.

Диаграмма  $e$ ) — первая поправка к вершинному оператору. Она должна удовлетворять условию (110,19), которое запишем здесь в виде

$$\bar{u}(p) \Lambda^\mu(p, p; 0) u(p) = 0, \quad p^2 = m^2, \quad (112,3)$$

где

$$\Lambda^\mu = \Gamma^\mu - \gamma^\mu. \quad (112,4)$$

Обозначим интеграл Фейнмана, записанный прямо по диаграмме, посредством  $\bar{\Lambda}^\mu(p_2, p_1; k)$ . Этот интеграл логарифмически расходится и сам по себе условию (112,3) не удовлетворяет. Мы, однако, получим величину, удовлетворяющую этому условию, образовав разность

$$\Lambda^\mu(p_2, p_1; k) = \bar{\Lambda}^\mu(p_2, p_1; k) - \bar{\Lambda}^\mu(p_1, p_1; 0)|_{p_1^2=m^2}. \quad (112,5)$$

Главный член расходимости в интеграле  $\bar{\Lambda}^\mu(p_2, p_1; k)$  получится, если считать в подынтегральном выражении 4-импульс виртуального фотона  $f$  сколь угодно большой величиной. Он имеет вид<sup>1)</sup>

$$-4\pi ie^2 \int \frac{\gamma^\nu(\gamma f) \gamma^\mu(\gamma f) \gamma_\nu}{f^3 f^2 f^2} \frac{d^4 f}{(2\pi)^4}$$

<sup>1)</sup> Полное выражение для интеграла записано в § 117 — см. (117,2).

и не зависит от значений 4-импульсов внешних линий. Поэтому в разности (112,5) расходимость сокращается и получается конечная величина. О такой операции устранения расходимости путем вычитаний говорят как о *регуляризации* интеграла.

Подчеркнем, что возможность регуляризации интеграла  $\bar{\Lambda}^\mu(p_2, p_1; k)$  путем одного вычитания обеспечивается тем, что в данном случае расходимость — лишь логарифмическая, т. е. наименее сильная из всех возможных. Если бы в интеграле содержались расходимости различных порядков, то одно вычитание при  $k = 0$  могло бы оказаться недостаточным для устранения всех расходящихся членов.

После определения первой поправки в  $\Gamma^\mu$  (первого члена разложения  $\Lambda^\mu$ ) первая поправка в электронном пропагаторе (диаграмма (112,2,б)) может быть вычислена по тождеству Уорда (108,8), которое можно записать также и в виде

$$\frac{\partial \mathcal{M}(p)}{\partial p_\mu} = -\Lambda^\mu(p, p; 0), \quad (112,6)$$

введя массовый оператор  $\mathcal{M}$  вместо  $\mathcal{G}$  и  $\Lambda^\mu$  вместо  $\Gamma^\mu$ . Это уравнение должно быть проинтегрировано с граничным условием

$$\bar{\mu}(p) \mathcal{M}(p) u(p) = 0, \quad p^2 = m^2, \quad (112,7)$$

следующим из (110,20).

Наконец, для вычисления первого члена разложения поляризационного оператора обратимся к тождеству (108,14); после упрощения по двум парам индексов оно дает уравнение

$$\frac{3}{4\pi} \frac{\partial^2 \mathcal{P}}{\partial k_\sigma \partial k^\sigma} = 2\mathcal{S},$$

связывающее скалярные функции

$$\mathcal{P} = 1/3 \mathcal{P}_\mu^\mu \quad \text{и} \quad \mathcal{S} = \mathcal{S}_{\mu\nu}^{\mu\nu}.$$

Обе эти функции зависят только от скалярной же переменной  $k^2$ , и поэтому находим

$$2k^2 \mathcal{P}''(k^2) + \mathcal{P}'(k^2) = \frac{4\pi}{3} \mathcal{S}(k^2), \quad (112,8)$$

где штрихи означают дифференцирование по  $k^2$ . Ввиду условия  $\mathcal{P}'(0) = 0$  из этого уравнения ясно, что должно быть и

$$\mathcal{S}(0) = 0. \quad (112,9)$$

В первом приближении теории возмущений  $\mathcal{S}(k^2)$  определяется диаграммой (112,2,д) (с 4-импульсами концов  $k, k, 0, 0$ ). Соответствующий интеграл Фейнмана (обозначим его  $\bar{\mathcal{P}}(k^2)$ ) расходится логарифмически, и его регуляризация осуществляется

одним вычитанием по условию (112,9):

$$\mathcal{P}(k^2) = \bar{\mathcal{P}}(k^2) - \bar{\mathcal{P}}(0).$$

После этого  $\mathcal{P}(k^2)$  определяется решением уравнения (112,8) с граничными условиями  $\mathcal{P}(0) = 0$ ,  $\mathcal{P}'(0) = 0$ .

В следующем приближении теории возмущений поправка к вершинному оператору ( $\Lambda_\mu^{(2)}$ ) определяется диаграммами (106,10,  $v-u$ ). Из них неприводимая (106,10,  $g$ ) вычисляется такой же регуляризацией интегралов с помощью одного вычитания согласно (112,5), как и при вычислении поправки первого приближения  $\Lambda_\mu^{(1)}$ . Содержащиеся же в приводимых диаграммах внутренние собственно-энергетические и вершинные части более низкого порядка сразу заменяются известными уже (регуляризованными) величинами первого приближения ( $\mathcal{P}^{(1)}$ ,  $\mathcal{M}^{(1)}$ ,  $\Lambda_\mu^{(1)}$ ), после чего получившиеся интегралы регуляризуются снова согласно (112,5)<sup>1)</sup>. Поправки  $\mathcal{P}^{(2)}$  и  $\mathcal{M}^{(2)}$  могут быть затем вычислены с помощью уравнений (112,6) и (112,8).

Описанная систематическая процедура дает, в принципе, возможность получить конечные выражения для  $\mathcal{P}$ ,  $\mathcal{M}$  и  $\Lambda_\mu$  в любом приближении теории возмущений. Тем самым становится возможным и вычисление амплитуд физических процессов рассения, описывающихся диаграммами, в которые блоки  $\mathcal{P}$ ,  $\mathcal{M}$ ,  $\Lambda_\mu$  входят как составные части.

Мы видим, таким образом, что установленные выше (см. § 111) физические условия оказываются достаточными для однозначной регуляризации всех встречающихся в теории диаграмм Фейнмана. Это обстоятельство является отнюдь не тривиальным свойством квантовой электродинамики и носит название *перенормируемости*<sup>2)</sup>.

Для фактического вычисления радиационных поправок описанная выше процедура может, однако, оказаться не наиболее простым и рациональным путем. В следующей главе мы увидим, в частности, что целесообразный путь может начинаться с вычисления мнимой части соответствующих величин; эти части даются интегралами, не содержащими расходимостей. Вся величина в целом определяется затем путем аналитического продолжения с помощью дисперсионных соотношений. Тем самым оказывается возможным избежать громоздких вычислений, требуемых для прямой регуляризации путем вычитаний.

<sup>1)</sup> В диаграммах же еще более высоких приближений может оказаться необходимым заранее заменить уже регуляризованными значениями также и «четыреххвостые» блоки  $\mathcal{P}$ .

<sup>2)</sup> Другой подход к теории перенормировок в квантовой электродинамике изложен в книге: Боголюбов Н. Н., Ширков Д. В. Введение в теорию квантованных полей. — М.: Наука, 1984.